

第五章 傅里叶变换光学

第二节 正弦光栅的衍射

5.2 正弦光栅的衍射

5.2.1 空间频率的概念

5.2.2 正弦光栅及其衍射图样

5.2.3 任意光栅的屏函数及其傅里叶展开

5.2.4 夫琅禾费衍射的再认识

5.2.1 空间频率的概念

时间频率

时间频率指信号随时间的周期性变化（简谐振动）。

$$f(t+T) = f(t) \quad \text{谐波}$$

时间周期： T

$$\text{时间频率：} \quad \nu = \frac{1}{T}$$

$$\text{时间角频率：} \quad \omega = 2\pi \frac{1}{T}$$

 mT

$$\nu_m = m \frac{1}{T}$$

$$\omega_m = m 2\pi \frac{1}{T}$$

空间频率

空间频率指某一面内光场随空间位置的周期性变化。

$$I(x+d) = I(x)$$

空间周期： d

$$\text{空间频率：} \quad f = \frac{1}{d}$$

$$\text{空间角频率：} \quad q = 2\pi \frac{1}{d}$$

波矢

 md

$$f_m = m \frac{1}{d}$$

$$q_m = m 2\pi \frac{1}{d}$$

频谱展开

$$\text{周期信号} \quad f(t) = \sum_{m=-\infty}^{\infty} a_m e^{i\omega_m t}, \quad a_n = \frac{1}{T} \int_{-T/2}^{T/2} f(t) e^{-i\omega_n t} dt$$

傅里叶级数—分立的谱线

$$\text{任意信号} \quad F(\omega) = \int_{-\infty}^{\infty} f(t) e^{-i\omega t} dt, \quad f(t) = \frac{1}{2\pi} \int_{-\infty}^{\infty} F(\omega) e^{i\omega t} dt$$

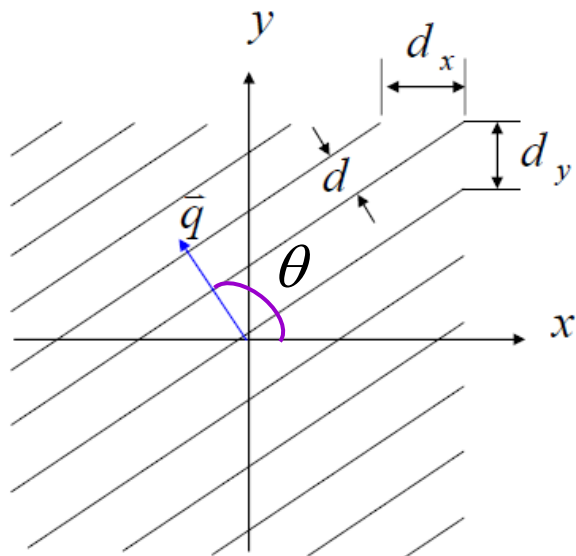
傅里叶变换—连续谱

物理意义：任意变化的信号可展开成一系列简谐振动的迭加。

5.2.1 空间频率的概念

空间频率的计算

$$\vec{q} = q_x \vec{e}_x + q_y \vec{e}_y = q \cos \theta \vec{e}_x + q \sin \theta \vec{e}_y$$



$$d_x = \frac{d}{\cos \theta}$$

$$d_y = \frac{d}{\sin \theta}$$

$$d_x = \frac{2\pi}{q_x} = \frac{1}{f_x}$$

$$d_y = \frac{2\pi}{q_y} = \frac{1}{f_y}$$

$$\frac{1}{d^2} = \frac{1}{d_x^2} + \frac{1}{d_y^2}$$

$$d = \frac{1}{\sqrt{q_x^2 + q_y^2}} = \frac{1}{q}$$

5.2.2 正弦光栅及其衍射图样

正弦光栅的屏函数及对光场的作用

正弦光栅的屏函数 $\tilde{t}(x) = t_0 + t_1 \cos(2\pi fx + \varphi_0)$

若入射场为平行光正入射 $\tilde{U}_1(x) = A_1$

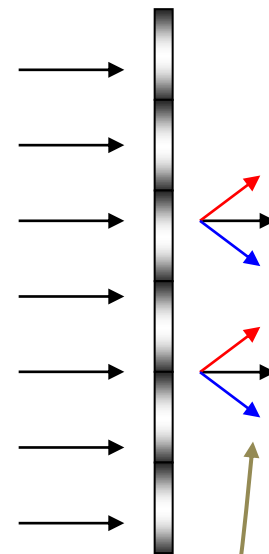
则透射场为： $\tilde{U}_2(x) = \tilde{U}_1(x)\tilde{t}(x)$

$$= A_1[t_0 + t_1 \cos(2\pi fx + \varphi_0)]$$

利用欧拉公式可得： $\cos(2\pi fx + \varphi_0) = \frac{1}{2}[e^{i(2\pi fx + \varphi_0)} + e^{-i(2\pi fx + \varphi_0)}]$

因此 $\tilde{U}_2(x) = A_1 t_0 + \frac{1}{2} A_1 t_1 e^{i(2\pi fx + \varphi_0)} + \frac{1}{2} A_1 t_1 e^{-i(2\pi fx + \varphi_0)}$

即 $\tilde{U}_2(x) = \tilde{U}_0(x) + \tilde{U}_{+1}(x) + \tilde{U}_{-1}(x)$



物理意义：正弦光栅将透射波变为三列**平面波**。

5.2.2 正弦光栅及其衍射图样

正弦光栅的三列衍射波的分析

三列透射波方向各不相同，以 $\tilde{U}_{+1}(x) = \frac{1}{2} A_1 t_1 e^{i(2\pi fx + \varphi_0)}$

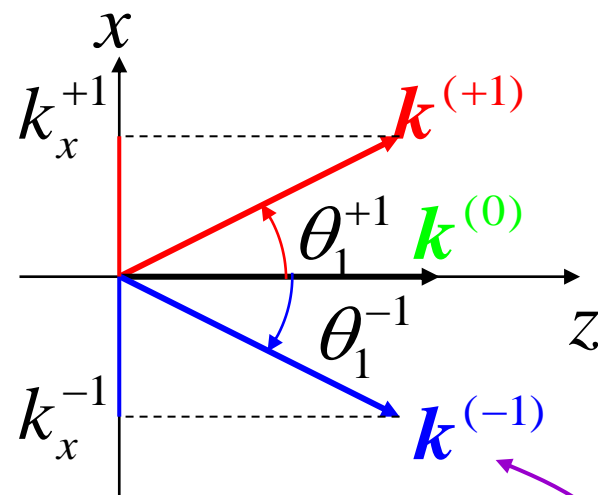
为例，分析其出射方向。其波矢为：

$$\mathbf{k} \cdot \mathbf{r} = k_x x + k_y y + k_z z = 2\pi fx = k_x^{(+1)} x$$

即： $k_x^{(+1)} = 2\pi f$ 由此可以得到

$$\sin \theta_1^{(+1)} = \frac{k_x^{(+1)}}{k^{(+1)}} = \frac{2\pi f}{\frac{2\pi}{\lambda}} = f\lambda$$

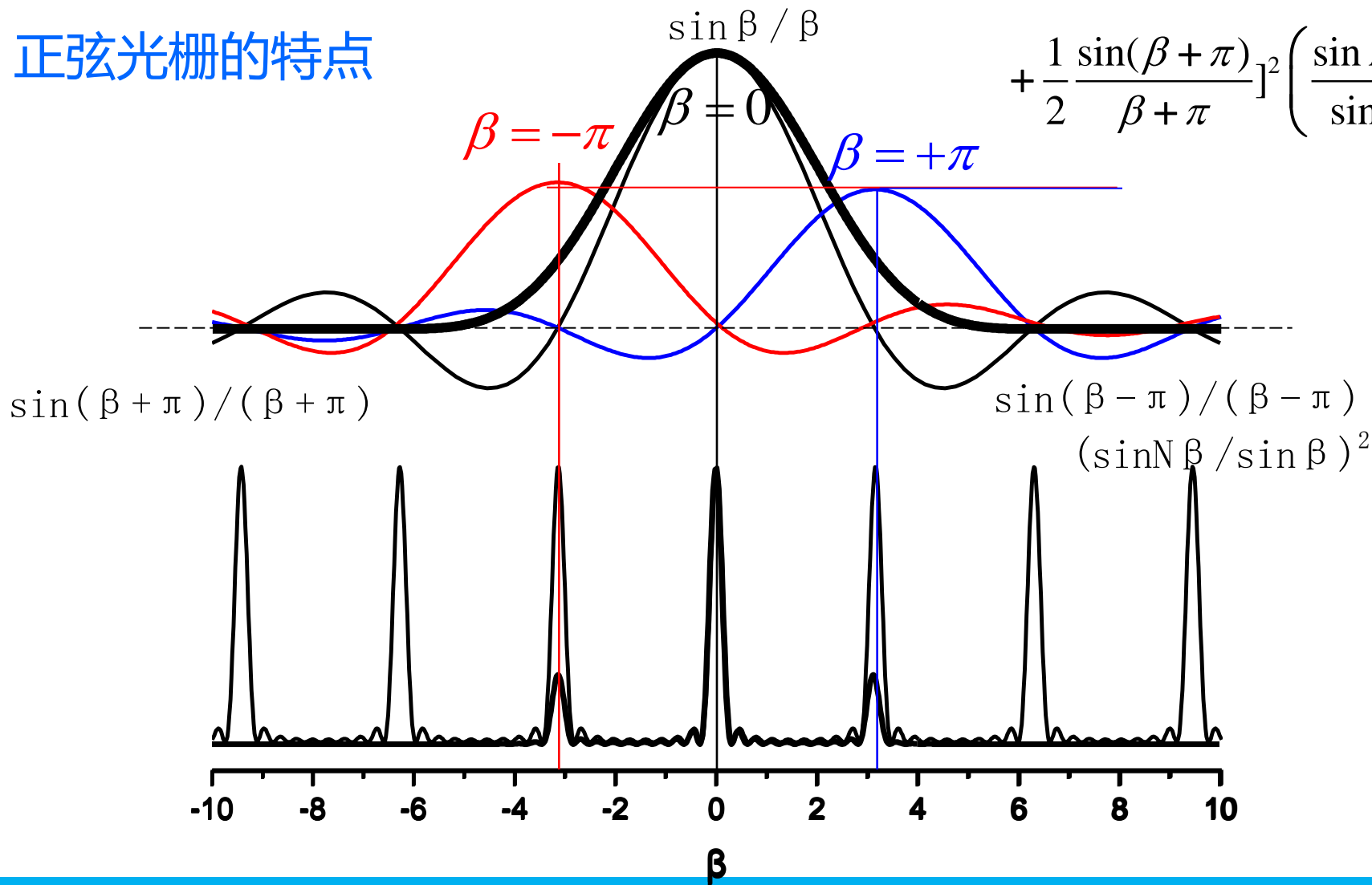
正弦光波衍射光场 $\tilde{U}_2(x) = A_1 t_0 + \frac{1}{2} A_1 t_1 e^{i(2\pi fx + \varphi_0)} + \frac{1}{2} A_1 t_1 e^{-i(2\pi fx + \varphi_0)}$ 的三列出射光波



0级波	$\tilde{U}_0(x) = A_1 t_0$	方向	$\sin \theta_0 = 0$
+1级波	$\tilde{U}_{+1}(x) = \frac{1}{2} A_1 t_1 e^{i(2\pi fx + \varphi_0)}$	方向	$\sin \theta_1^{+1} = f\lambda$
-1级波	$\tilde{U}_{-1}(x) = \frac{1}{2} A_1 t_1 e^{-i(2\pi fx + \varphi_0)}$	方向	$\sin \theta_1^{-1} = -f\lambda$

正弦光栅的特点

$$I(\theta) = I_0 \left[\frac{\sin \beta}{\beta} + \frac{1}{2} \frac{\sin(\beta - \pi)}{\beta - \pi} + \frac{1}{2} \frac{\sin(\beta + \pi)}{\beta + \pi} \right]^2 \left(\frac{\sin N\beta}{\sin \beta} \right)^2$$



5.2.2 正弦光栅及其衍射图样

正弦光栅的制备方法

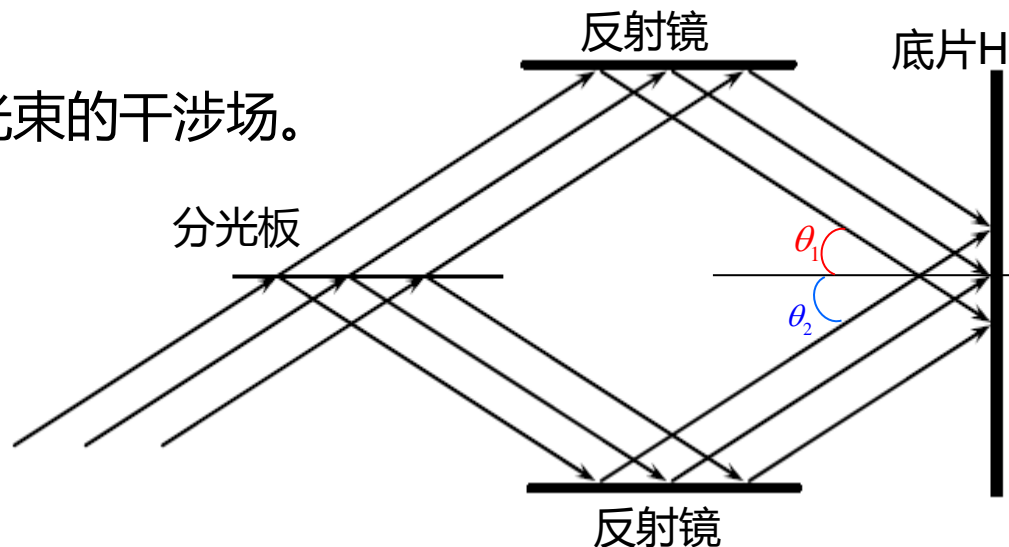
(1) 利用照相底片记录两束平行光束的干涉场。

干涉强度的分布函数为：

$$I(x, y) = I_0 [1 + \gamma \cos(2\pi fx + \varphi_0)]$$

其空间频率

$$f = \frac{1}{d} = \frac{\sin \theta_1 + \sin \theta_2}{\lambda}$$



(2) 显影定影——**线性冲印**。→ 是制备的关键，与所用材料、曝光温度和时间、显影定影的药液配方等都有关系。

冲洗后干板底片的透过率函数为： $\tilde{t}(x, y) \propto I(x, y)$

可写成： $\tilde{t}(x, y) = \alpha + \beta I(x, y) = t_0 + t_1 \cos(2\pi fx + \varphi_0)$

→ $\beta < 0$ ，负片； $\beta > 0$ ，正片；

→ 雾底，物理意义表示即使曝光强度 $I=0$ ，冲洗出来仍有一定透过率。

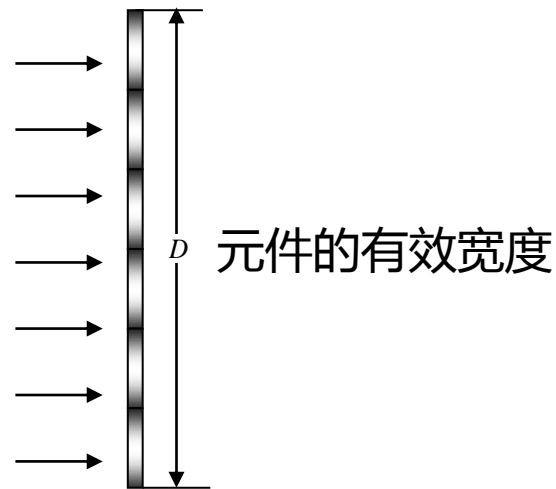
5.2.2 正弦光栅及其衍射图样

正弦光栅的有效宽度对其衍射场的影响

窗函数

元件实际尺寸可以用一个孔型函数描述，称为窗函数。

$$\tilde{t}_w = \begin{cases} 1 & \text{窗口内} \\ 0 & \text{窗口外} \end{cases}$$



实际光学元件的屏函数应等于其完整的变换函数与窗函数的乘积，即 $\tilde{t}'_L = \tilde{t}_w \cdot \tilde{t}_L$

可以理解为首先经过一次完整的变换，再被窗函数的作用，使波前受限发生衍射，在相面上出现圆孔的夫琅禾费衍射场。

窗函数作用的物理意义

窗函数使衍射场波次发生展宽。

$$\begin{cases} \Delta\theta_0 = \frac{\lambda}{D} \\ \Delta\theta_{\pm 1} = \frac{\lambda}{D \cos \theta_{\pm 1}} \end{cases}$$

5.2.2 正弦光栅及其衍射图样

正弦光栅的组合

(1) 平行密接 (相乘)

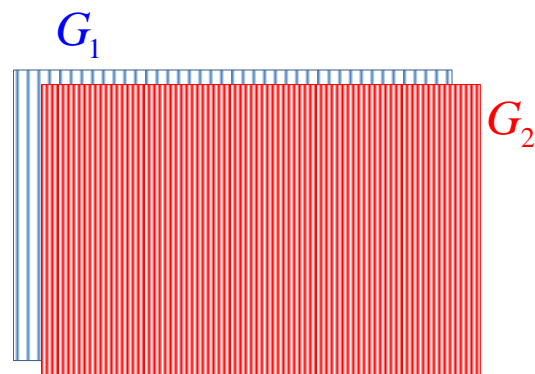
分析思路：光波场依次通过不同的正弦光栅，总的变换函数等于各光栅的变换函数相乘。

入射场

$$\text{正入射平面波 } \tilde{U}_1 = A_1$$

变换函数

$$\begin{cases} G_1 : t(x) = t_0 + t_1 \cos 2\pi f x & \text{低频} \\ G_2 : t'(x) = t'_0 + t'_1 \cos 2\pi f' x & \text{高频} \end{cases}$$



$$t_{12}(x) = t(x) \cdot t'(x) = t_0 t'_0 + t_0 t'_1 \cos 2\pi f' x + t_1 t'_0 \cos 2\pi f x + \frac{1}{2} t_1 t'_1 \cos 2\pi (f + f') x + \frac{1}{2} t_1 t'_1 \cos 2\pi (f - f') x$$

出射场

$$\tilde{U}_2(x, y) = \tilde{U}_1(x, y) \cdot \tilde{t}_{12}(x, y)$$

包含四个正弦光栅加一个直流分量

$$= A_1 [t_0 t'_0 + t_0 t'_1 \cos 2\pi f' x + t_1 t'_0 \cos 2\pi f x + \frac{1}{2} t_1 t'_1 \cos 2\pi (f + f') x + \frac{1}{2} t_1 t'_1 \cos 2\pi (f - f') x]$$

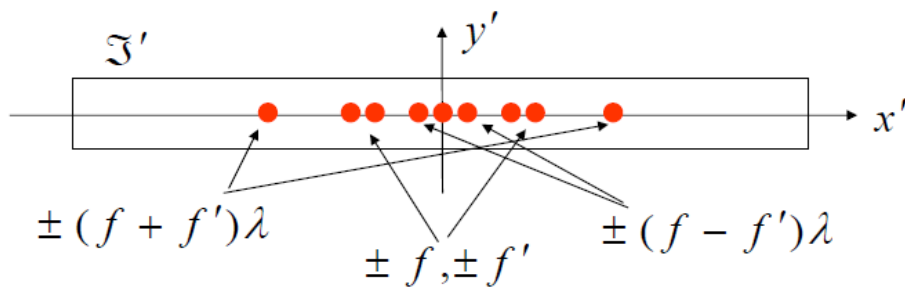
5.2.2 正弦光栅及其衍射图样

正弦光栅的组合

(1) 平行密接 (续)

将在 x 轴上出现9个衍射斑，方向角分别为

$$\sin \theta = \begin{cases} 0 & (0 \text{级}) \\ \pm f\lambda & (f \text{的 } \pm 1 \text{级}) \\ \pm f'\lambda & (f' \text{的 } \pm 1 \text{级}) \\ \pm (f - f')\lambda & (\text{差频的 } \pm 1 \text{级}) \\ \pm (f + f')\lambda & (\text{和频的 } \pm 1 \text{级}) \end{cases}$$



可以理解为入射光波长经过第一个光栅，分解为三列平面衍射波，其中每列波再经过第二个光栅，又分解为三个波列。因此，共有9个波列。

5.2.2 正弦光栅及其衍射图样

正弦光栅的组合

(2) 正交密接 (相乘)

入射场

$$\text{正入射平面波 } \tilde{U}_1 = A_1$$

变换函数

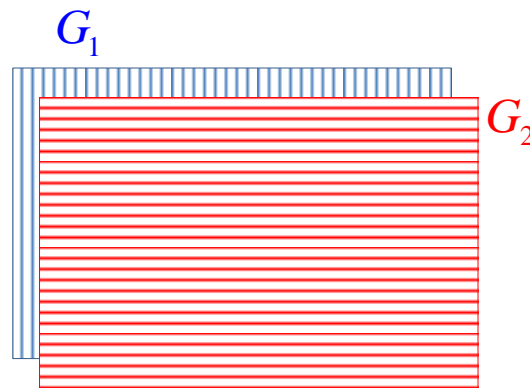
$$\begin{cases} G_1 : t(x) = t_0 + t_1 \cos 2\pi f x \\ G_2 : t(y) = t'_0 + t'_1 \cos 2\pi f' y \end{cases}$$

$$t_{12}(x, y) = t(x) \cdot t'(y) = t_0 t'_0 + t_0 t'_1 \cos 2\pi f' x + t_1 t'_0 \cos 2\pi f y + \frac{1}{2} t_1 t'_1 \cos 2\pi (f x + f' y) + \frac{1}{2} t_1 t'_1 \cos 2\pi (f x - f' y)$$

出射场

$$\tilde{U}_2(x, y) = \tilde{U}_1(x, y) \cdot \tilde{t}_{12}(x, y)$$

$$= A_1 [t_0 t'_0 + t_0 t'_1 \cos 2\pi f' x + t_1 t'_0 \cos 2\pi f y + \frac{1}{2} t_1 t'_1 \cos 2\pi (f x + f' y) + \frac{1}{2} t_1 t'_1 \cos 2\pi (f x - f' y)]$$



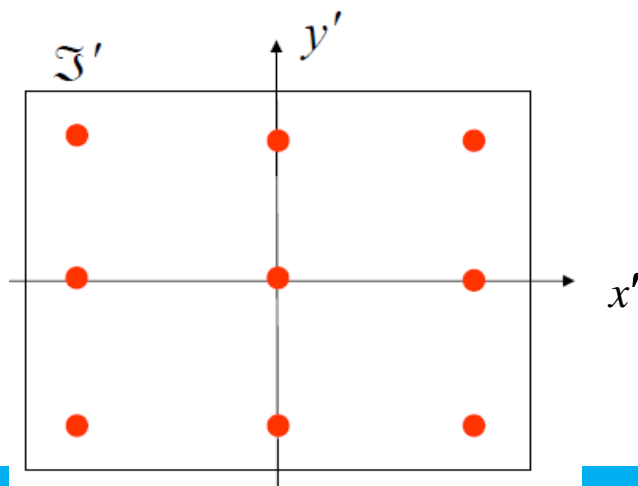
5.2.2 正弦光栅及其衍射图样

正弦光栅的组合

(2) 正交密接(续)

光场分解结果—9个衍射光斑

$$(\sin \theta_1, \sin \theta_2) = \left\{ \begin{array}{ll} (0,0) & (0 \text{ 级}) \\ (\pm f\lambda, 0) & (f \text{ 的 } \pm 1 \text{ 级}) \\ (0, \pm f'\lambda) & (f' \text{ 的 } \pm 1 \text{ 级}) \\ \pm (f\lambda, -f'\lambda) \\ \pm (f\lambda, f'\lambda) \end{array} \right\} \text{交叉项的 } \pm 1 \text{ 级}$$



5.2.2 正弦光栅及其衍射图样

正弦光栅的组合

(3) 复合光栅 (相加)

光栅含有两种不同空间频率的成分。

$$t(x) = t_0 + t_1 \cos 2\pi f_1 x + t_2 \cos 2\pi f_2 x$$

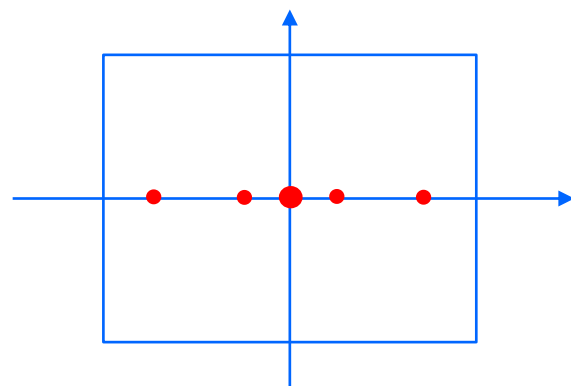
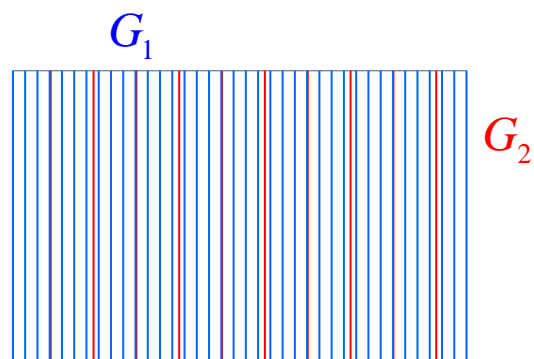
出射光场

$$\tilde{U}_2(x, y) = \tilde{U}_1(x, y) \cdot \tilde{t}_{12}(x, y) = A_1(t_0 + t_1 \cos 2\pi f_1 x + t' \cos 2\pi f' x)$$

$$\begin{cases} \sin \theta_0 = 0 & (0\text{级}) \\ \sin \theta_{\pm 1} = \pm f \lambda & (f\text{的}\pm 1\text{级}) \\ \sin \theta'_{\pm 1} = \pm f' \lambda & (f'\text{的}\pm 1\text{级}) \end{cases}$$

复合光栅的制备方法

多次曝光一次冲洗。



复合光栅的衍射光斑, $f' = 3f$

5.2.3 任意光栅的屏函数及其傅里叶展开

任意光栅屏函数的傅里叶展开

空间周期函数的严格周期性 $\tilde{t}(x+d) = \tilde{t}(x)$

实际中会有窗函数的限制。在较大范围内具有周期性的函数被称为准周期函数。

处理思路：先将变换函数作为严格周期函数处理，必要时才考虑窗函数的影响。

严格周期函数展开的三种模式

(1) 正余弦展开

$$t(x) = t_0 + \sum_{m=1}^{\infty} a_m \cos 2\pi f_m x + \sum_{m=1}^{\infty} b_m \sin 2\pi f_m x$$

f_1 - 基频
 $f_m = mf$ - m 次谐波

$$t_0 = \frac{1}{d} \int_{-d/2}^{d/2} t(x) dx$$

$$a_m = \frac{2}{d} \int_{-d/2}^{d/2} t(x) \cos 2\pi f_m x dx \quad b_m = \frac{2}{d} \int_{-d/2}^{d/2} t(x) \sin 2\pi f_m x dx$$

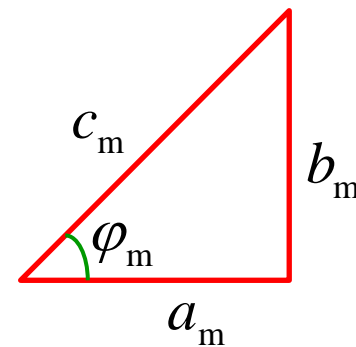
5.2.3 任意光栅的屏函数及其傅里叶展开

任意光栅屏函数的傅里叶展开

(2) 余弦相移式

$$\begin{aligned}
 t(x) &= t_0 + \sum_{m=1}^{\infty} a_m \cos 2\pi f_m x + \sum_{n=1}^{\infty} b_n \sin 2\pi f_n x \\
 &= t_0 + \sum_{m=1}^{\infty} \sqrt{a_m^2 + b_m^2} \left(\frac{a_m}{\sqrt{a_m^2 + b_m^2}} \cos 2\pi f_m x + \frac{b_m}{\sqrt{a_m^2 + b_m^2}} \sin 2\pi f_m x \right) \\
 &= t_0 + \sum_{m=1}^{\infty} c_m (\cos 2\pi f_m x \cos \varphi_m + \sin 2\pi f_m x \sin \varphi_m) \\
 &= t_0 + \sum_{m=1}^{\infty} c_m \cos(2\pi f_m x + \varphi_m)
 \end{aligned}$$

$$c_m = \sqrt{a_m^2 + b_m^2} \quad \varphi_m = \tan^{-1} \frac{b_m}{a_m}$$



5.2.3 任意光栅的屏函数及其傅里叶展开

任意光栅屏函数的傅里叶展开

(3) 傅里叶级数展开

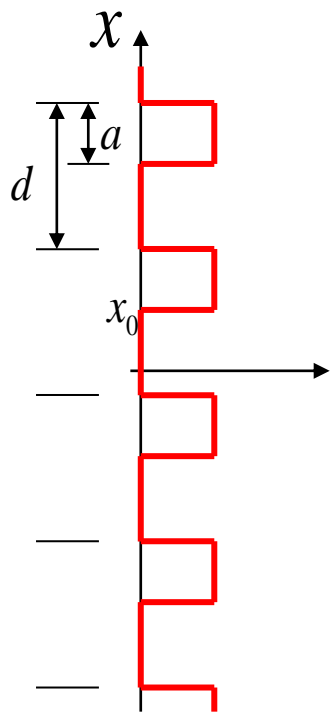
$$\begin{aligned}
 t(x) &= t_0 + \sum_{m=1}^{\infty} a_m \cos 2\pi f_m x + \sum_{n=1}^{\infty} b_m \sin 2\pi f_m x \\
 &= t_0 + \sum_{m=1}^{\infty} a_m \left(\frac{e^{i2\pi f_m x} + e^{-i2\pi f_m x}}{2} \right) + \sum_{m=1}^{\infty} b_m \left(\frac{e^{i2\pi f_m x} - e^{-i2\pi f_m x}}{2i} \right) \\
 &= t_0 + \sum_{m=1}^{\infty} \frac{a_m - ib_m}{2} e^{i2\pi f_m x} + \sum_{m=1}^{\infty} \frac{a_m + ib_m}{2} e^{-i2\pi f_m x} \\
 &= t_0 + \sum_{m=1}^{\infty} \frac{\sqrt{a_m^2 + b_m^2}}{2} e^{i2\pi f_m x - i\varphi_m} + \sum_{m=1}^{\infty} \frac{\sqrt{a_m^2 + b_m^2}}{2} e^{-i2\pi f_m x + i\varphi_m} \\
 &= t_0 + \sum_{m=1}^{\infty} \frac{\sqrt{a_m^2 + b_m^2}}{2} e^{i(2\pi f_m x - \varphi_m)} + \sum_{m=-1}^{-\infty} \frac{\sqrt{a_m^2 + b_m^2}}{2} e^{i(2\pi f_m x - \varphi_m)} \\
 &= t_0 + \sum_{m \neq 0} \frac{\sqrt{a_m^2 + b_m^2}}{2} e^{i(2\pi f_m x - \varphi_m)} = t_0 + \sum_{m \neq 0} \tilde{t}_m e^{i2\pi f_m x} \\
 \text{其中 } \tilde{t}_m &= \frac{c_m}{2} e^{-i\varphi_m} = t_m e^{-i\varphi_m} = \frac{a_m - ib_m}{2} \quad \tilde{t}_m = \frac{1}{d} \int_{-d/2}^{d/2} t(x) e^{-i2\pi f_m x} dx
 \end{aligned}$$

当然也可以由余弦表达式和欧拉公式很简洁的得到复数表达式，此处推导的目的在于说明正弦余弦表达式更为基本。

5.2.3 任意光栅的屏函数及其傅里叶展开

黑白光栅屏函数的傅里叶展开

光栅常数为 d ，透射缝宽为 a 的黑白光栅，其屏函数为：



$$t(x) = t(x+d) = \begin{cases} 1, & x_0 + md < x < x_0 + a + md \\ 0, & x_0 + a + md < x < x_0 + (m+1)d \end{cases}$$

使用正余弦展开

$$t(x) = t_0 + \sum_{m=1}^{\infty} a_m \cos 2\pi f_m x + \sum_{m=1}^{\infty} b_m \sin 2\pi f_m x$$

$$t_0 = \frac{1}{d} \int_{-\frac{a}{2}}^{\frac{a}{2}} dx = \frac{a}{d} \quad b_m = \frac{2}{d} \int_{-\frac{a}{2}}^{\frac{a}{2}} \sin(2\pi f_m x) dx = 0$$

$$a_m = \frac{2}{d} \int_{-\frac{a}{2}}^{\frac{a}{2}} \cos(2\pi f_m x) dx = \frac{1}{\pi f_m d} \sin(2\pi f_m x) \Big|_{-a/2}^{a/2}$$

$$= \frac{2 \sin(\pi f_m a)}{\pi f_m d} = \frac{a}{d} \frac{2 \sin \frac{m\pi a}{d}}{\frac{m\pi a}{d}}$$

5.2.3 任意光栅的屏函数及其傅里叶展开

黑白光栅屏函数的傅里叶展开 (续)

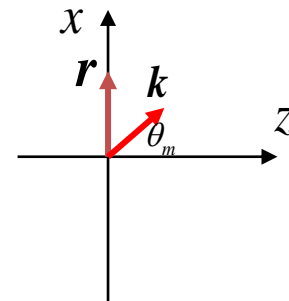
$$t(x) = t_0 + \sum_{m=1}^{\infty} a_m \cos 2\pi f_m x + \sum_{m=1}^{\infty} b_m \sin 2\pi f_m x$$

$$= \frac{a}{d} + \frac{a}{d} \sum_{m=1}^{\infty} \frac{2 \sin \frac{m\pi a}{d}}{m\pi a} \cos 2\pi f_m x = \frac{a}{d} + \frac{a}{d} \sum_{m=1}^{\infty} \frac{2 \sin \frac{m\pi a}{d}}{m\pi a} \frac{e^{i2\pi f_m x} + e^{-i2\pi f_m x}}{2}$$

$$= \frac{a}{d} + \frac{a}{d} \sum_{m \neq 0} \frac{\sin \alpha_m}{\alpha_m} e^{i2\pi f_m x} \quad \text{其中 } \alpha_m = \frac{m\pi a}{d}$$

↑
0级波

↑
m级波



平面波的相位 $\mathbf{k} \cdot \mathbf{r} = k_x \cdot x = \frac{2\pi}{\lambda} \sin \theta_m \cdot x = 2\pi f_m x$

m 级波的方向 $\sin \theta_m = \lambda f_m = \lambda \frac{m}{d} \Rightarrow d \sin \theta_m = m\lambda$ 光栅方程

$$\alpha_m = \frac{m\pi a}{d} = \frac{\pi a \sin \theta_m}{\lambda} \Rightarrow \frac{\sin \alpha_m}{\alpha_m} \quad \text{单缝衍射因子}$$

5.2.3 任意光栅的屏函数及其傅里叶展开

黑白光栅屏函数的傅里叶展开 (续)

例

如果 $d = 2a$, 平面波入射 , 求衍射场。

$$\begin{aligned} \tilde{U}_2(x) &= \tilde{U}_1(x)t(x) = A_1 \frac{a}{d} \left(1 + \sum_{m \neq 0} \frac{\sin m\pi fa}{m\pi fa} e^{i2\pi mfx} \right) = \frac{A_1}{2} \left(1 + \sum_{m \neq 0} \frac{\sin \frac{m\pi}{2}}{\frac{m\pi}{2}} e^{i2\pi mfx} \right) \\ &= \frac{A_1}{2} + \frac{A_1}{\pi} (e^{i2\pi fx} + e^{-i2\pi fx}) - \frac{A_1}{3\pi} (e^{i6\pi fx} + e^{-i6\pi fx}) + \frac{A_1}{5\pi} (e^{i10\pi fx} + e^{-i10\pi fx}) - \dots \\ &= \frac{A_1}{2} + \frac{2A_1}{\pi} \cos 2\pi fx - \frac{2A_1}{3\pi} \cos 2\pi \cdot 3fx + \frac{2A_1}{5\pi} \cos 2\pi \cdot 5fx - \dots \end{aligned}$$

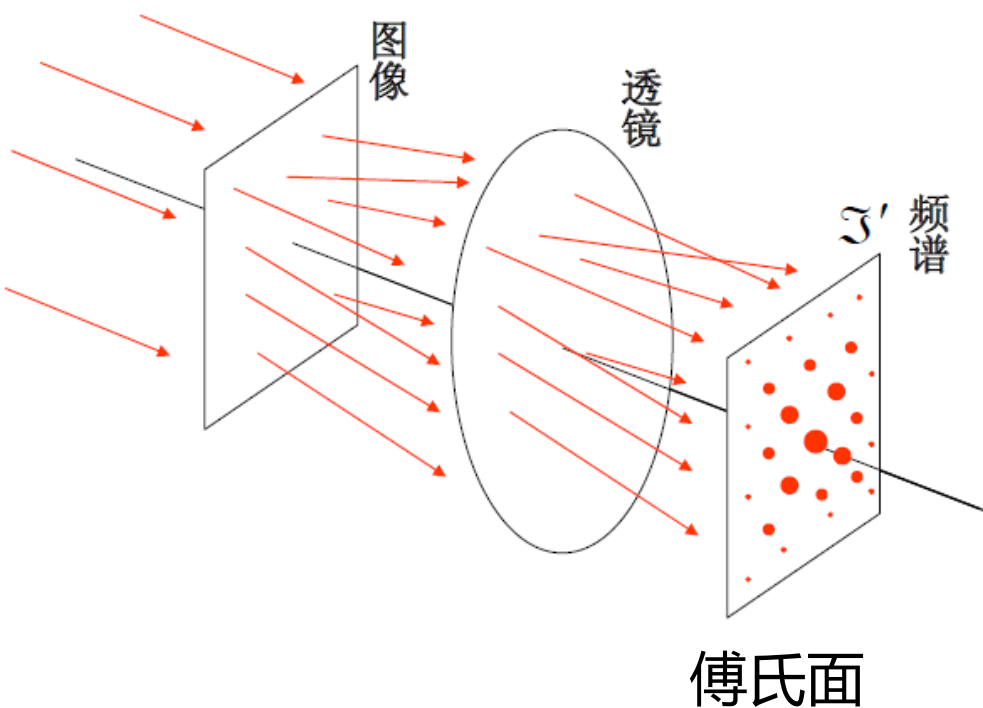
2、4、... 缺级

黑白光栅可以看做无穷多级正弦光栅的叠加。

5.2.4 夫琅禾费衍射的再认识

傅里叶分解的数学计算需要有对应的物理装置来实现

Fraunhofer衍射是衍射屏空间频率的频谱分析器—将一定空间频率的信息分解为一对特定方向的平面衍射波，在远场分离。



透镜后焦面的衍射光斑

—图像的单频信息

- 角度 \propto 频率分量的高低
- 频率 $\propto \tilde{t}_m^2$ (傅里叶系数的平方)

Fraunhofer衍射系统成为傅里叶分析器的条件

- (1) 线性系统
- (2) 本征信息与傅里叶分解一致

可用于进行光学计算

5.2.4 夫琅禾费衍射的再认识

过高频信息产生的衰减波

$$k_x = k \sin \theta, k_z = k \cos \theta$$

当 $\sin \theta = f\lambda > 1$ 时

$$k_z = \sqrt{k^2 - k_x^2 - k_y^2} = i\kappa$$

$$\text{其中: } \kappa = \sqrt{(f\lambda)^2 - 1}$$

$$\tilde{U}(x, y, z) = Ae^{-\kappa z} e^{i2\pi fx}$$

沿z方向衰减，衰减波

从傅里叶变换的角度理解：

- 用波长为 λ 的光波对图像进行分析，无法在衍射场中得到空间频率 $f > 1/\lambda$ 的信息。
- 也就是说，用衍射方法分析图像结构的分辨率只能达到照明光波的波长量级。
- 因此用X射线能够更精细的分析物质结构。

本节重点

1. 空间频率的概念（理解）
2. 正弦光栅的屏函数及对光场的作用（计算）
3. 任意光栅屏函数的傅里叶展开（计算）

作业

P67-2,4,7,9

重排版：P304-2, 4, 7, 9